

Ce document a été mis en ligne par l'organisme FormaV®

Toute reproduction, représentation ou diffusion, même partielle, sans autorisation préalable, est strictement interdite.

Pour en savoir plus sur nos formations disponibles, veuillez visiter : <u>www.formav.co/explorer</u> Nota:

- Les quatre parties sont indépendantes.
- Les numéros de barres et de nœuds figurent sur le schéma fourni dans les pages de présentation.

# 1) ETUDE DES CHARGES CLIMATIQUES

## 1.1) Charges de neige

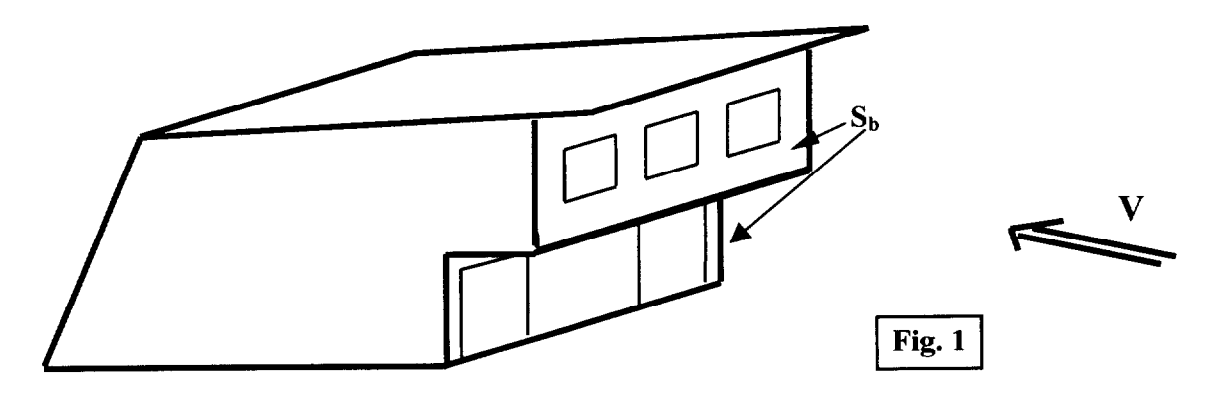
#### Travail demandé:

Déterminer le ou les cas de charges de neige par m² horizontal sur les différents pans de toiture en précisant dans chaque cas la présence de vent ou non. Préciser quels articles du D.T.U. Neige 84 ou du règlement NV 65/67 vous avez utilisés.

## 1.2) Charges de vent

#### Travail demandé:

- 1) Déterminer la valeur de la pression dynamique corrigée.
- 2) On suppose que toute la façade principale Sb (façade sud) est ouverte. On précise que la cage d'escalier assure l'équirépartition interne des pressions sur les parois.
  - Calculer le coefficient de perméabilité de la paroi Sb.
  - Pour le cas du vent sur la paroi S<sub>b</sub> ouverte représenté ci-dessous :



- a) Déterminer le coefficient  $\gamma_0$  en précisant les hypothèses mises en place.
- b) En déduire les coefficients Ce, Ci, et Cr = Ce Ci.
- c) Déterminer les coefficients Ce, Ci, et Cr = Ce Ci sur l'auvent du portique intermédiaire, barre n°12, en vous référant à l'article 2.132 du règlement NV65.
- d) Etudier les coefficients Ce, Ci, et Cr = Ce Ci sur la partie en porte-à-faux, barres 7 et 8.

Vous reporterez les résultats sur les **feuilles réponses n° 1 et 2 données pages** 6/11 et 7/11.

- On veut déterminer la charge de vent s'exerçant sur la totalité du portique courant uniquement dans le cas étudié du vent sur façade S<sub>b</sub> ouverte (sans majoration dynamique). Pour cela :
  - déterminer le coefficient de dimensions δ ;
  - en déduire la charge linéairement répartie sur chaque barre du portique.

# 2) ANALYSE DES RÉSULTATS D'UN LOGICIEL DE CALCULS

On étudie un portique courant du bâtiment, file B.

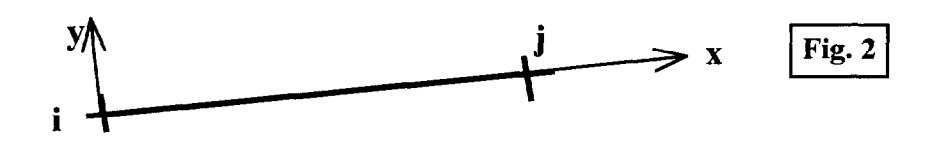
Les sorties informatiques données en annexe  $N^{\circ}1$ , constituent les résultats de calculs pour la combinaison : 4/3 G + 17/12 S<sub>1</sub> + 17/12 Q<sub>1</sub>, représentée sur la **figure 3**.

Q<sub>1</sub> représente ici la charge d'exploitation appliquée aux barres 2, 3, 4 et 5 uniquement.

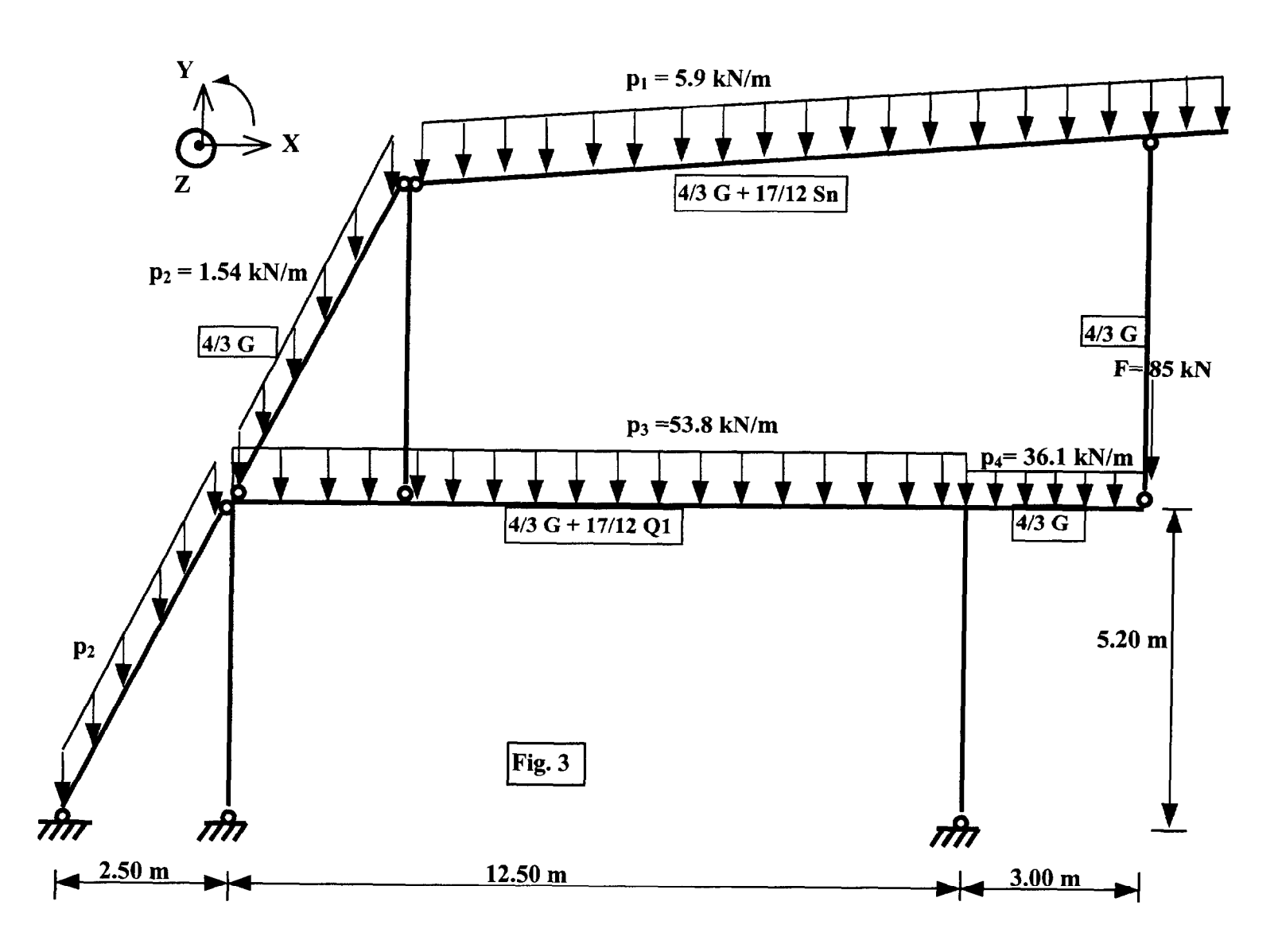
On donne ci-dessous, à titre indicatif, les coordonnées des nœuds dans le repère global repérés sur le diagramme joint à la présentation du projet (feuille 5)

| Nœuds |        |        | Barres |        |        |          |
|-------|--------|--------|--------|--------|--------|----------|
| No.   | X(m)   | Y(m)   | No.    | Nœud A | Nœud B | Longueur |
| 1     | 2.500  | 0.000  | 1      | 1      | 2      | 5.200 m  |
| 2     | 2.500  | 5.200  | 2      | 2      | 3      | 1.750 m  |
| 3     | 4.250  | 5.200  | 3      | 3      | 4      | 0.750 m  |
| 4     | 5.000  | 5.200  | 4      | 4      | 5      | 8.250 m  |
| 5     | 13.250 | 5.200  | 5      | 6      | 5      | 1.750 m  |
| 6     | 15.000 | 5.200  | 6      | 6      | 7      | 5.200 m  |
| 7     | 15.000 | 0.000  | 7      | 6      | 8      | 1.750 m  |
| 8     | 16.750 | 5.200  | 8      | 8      | 9      | 1.250 m  |
| 9     | 18.000 | 5.200  | 9      | 10     | 2      | 5.770 m  |
| 10    | 0.000  | 0.000  | 10     | 2      | 11     | 5.770 m  |
| 11    | 5.000  | 10.400 | 11     | 11     | 12     | 13.055 m |
| 12    | 18.000 | 11.600 | 12     | 12     | 13     | 1.506 m  |
| 13    | 19.500 | 11.738 | 13     | 12     | 9      | 6.400 m  |
|       |        |        | 14     | 11     | 4      | 5.200 m  |

Les actions X, Y et Mz sont les **actions des nœuds sur les barres.**Pour chaque élément, les actions sont exprimées dans le repère local de la barre.
Le nœud origine est le nœud i et le nœud extrémité le nœud j. **(figure 2)** 



# Schéma mécanique et charges :



### Travail demandé:

2.1) Tracer le diagramme des moments fléchissants d'après les sorties informatiques données en annexe n°1, page 9/11 et les charges données sur le diagramme de la figure 3.

Vous utiliserez la feuille réponse n° 3, page 8/11, pour la représentation graphique.

2.2) A partir des résultats aux ELS fournis en annexe n°2 page 10/11 pour la combinaison G+Wn+Q1+Q2, (notée C8 en annexe N°2), trouver le déplacement horizontal maxi et vérifier s'il est admissible.

On retiendra que  $\Delta$  admissible = h/150

# 3) VERIFICATION D'UN POTEAU

### <u>Travail demandé</u>: L'étude porte sur l'élément 6 (6-7)

#### 3.1) Etude des combinaisons

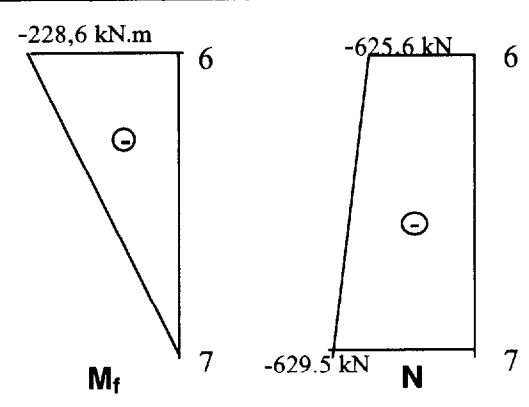
La vérification du poteau 6-7, barre n° 6, passe par la détermination préalable des combinaisons pouvant entraîner des sollicitations défavorables.

A partir des résultats des sollicitations fournis pour les différentes combinaisons en annexe n° 3 page 11/11 pour ce poteau, préciser les deux combinaisons les plus défavorables pour la vérification du poteau à la flexion avec flambement.

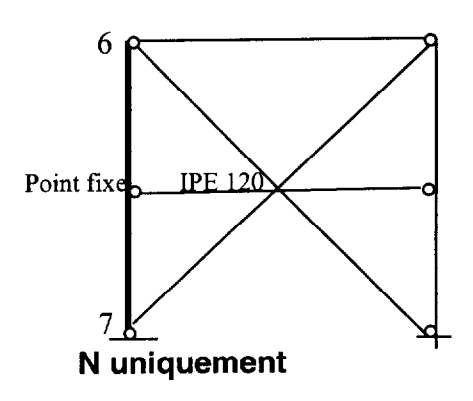
## 3.2) Vérification compression + flexion (avec risque de flambement)

La sortie informatique fournie en annexe n° 3 page 11/11 donne les résultats pour la combinaison 1.

#### Plan du portique (inertie forte)



#### Hors plan du portique : (inertie faible)



#### On rappelle que l'acier utilisé est du S.355 (E36).

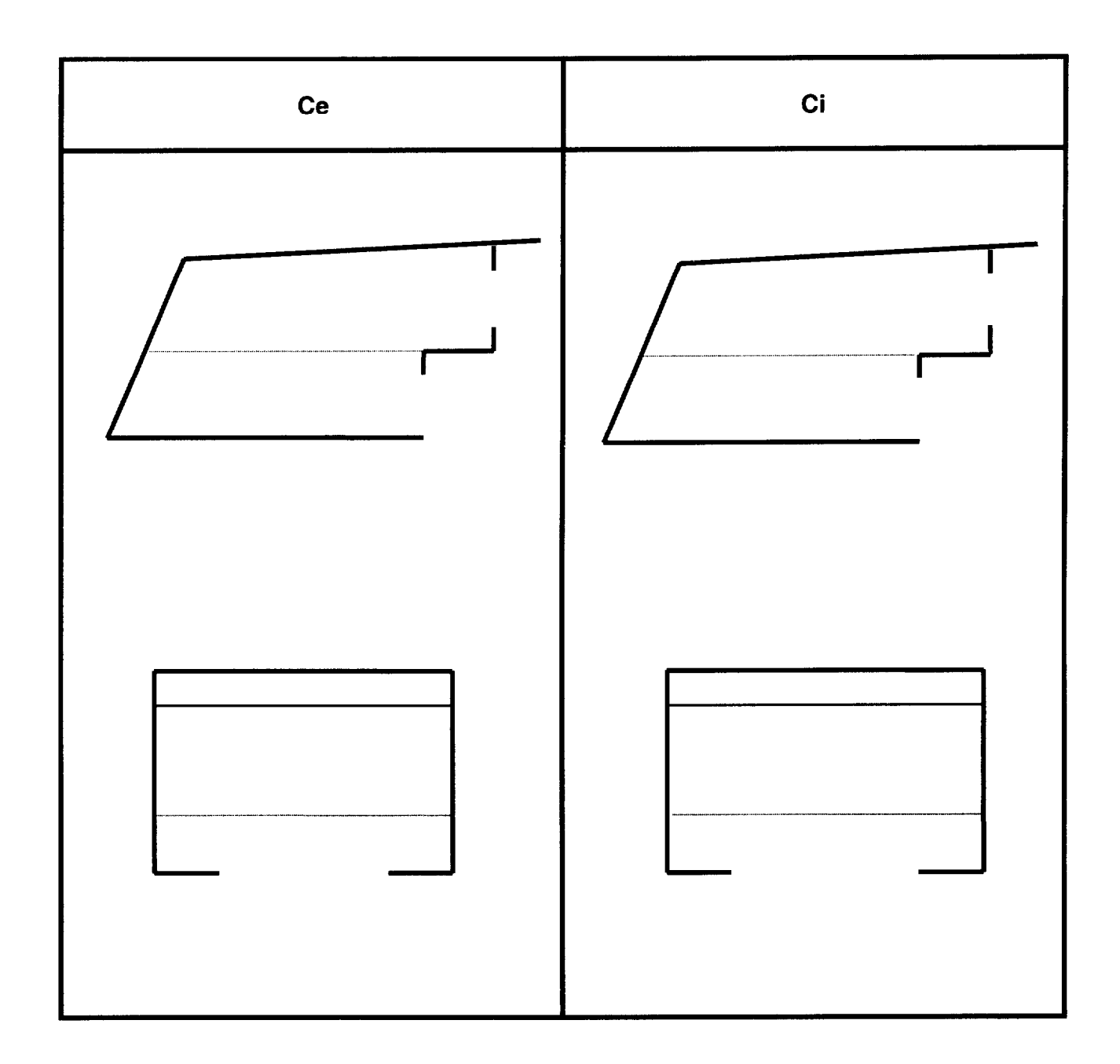
Vérifier le poteau 6-7 aux états limites ultimes en tenant compte des hypothèses suivantes :

- L'effort normal est supposé constant le long du poteau.
- On néglige l'influence des jarrets sur le calcul des longueurs de flambement.
- La structure est contreventée par croix de S<sup>t</sup>-André dans le plan perpendiculaire au portique.
- On considère que la lisse centrale est reliée au contreventement et constitue donc un point fixe à mi-hauteur vis-à-vis du flambement suivant l'inertie faible.

| NOM:                     | N° d'inscription :    |
|--------------------------|-----------------------|
| Prénoms :                | Repère de l'épreuve : |
| Académie d'inscription : |                       |

# Feuille réponse n° 1

### Reporter sur les schémas les coefficients Ce et Ci :

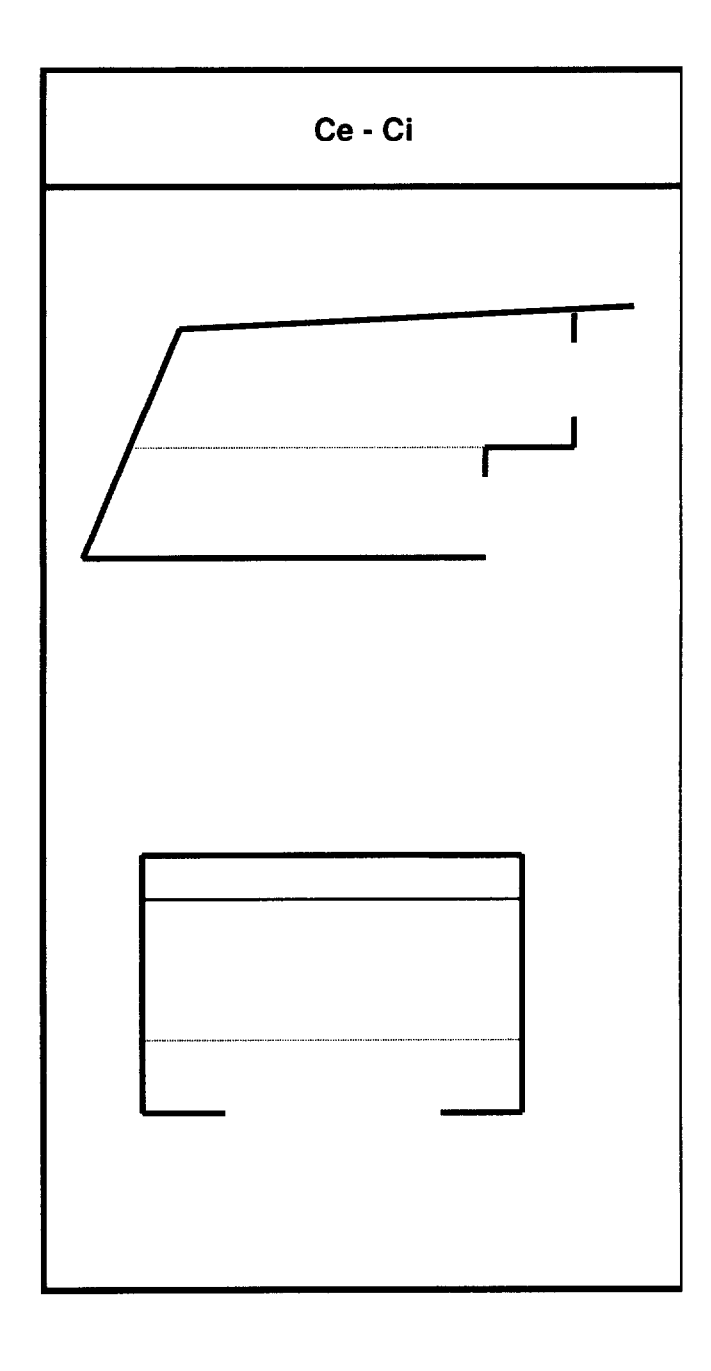


| NOM :                    |
|--------------------------|
| Prénoms :                |
| Académie d'inscription : |

| N° d'inscription :      |  |
|-------------------------|--|
| Repère de l'épreuve : _ |  |
|                         |  |

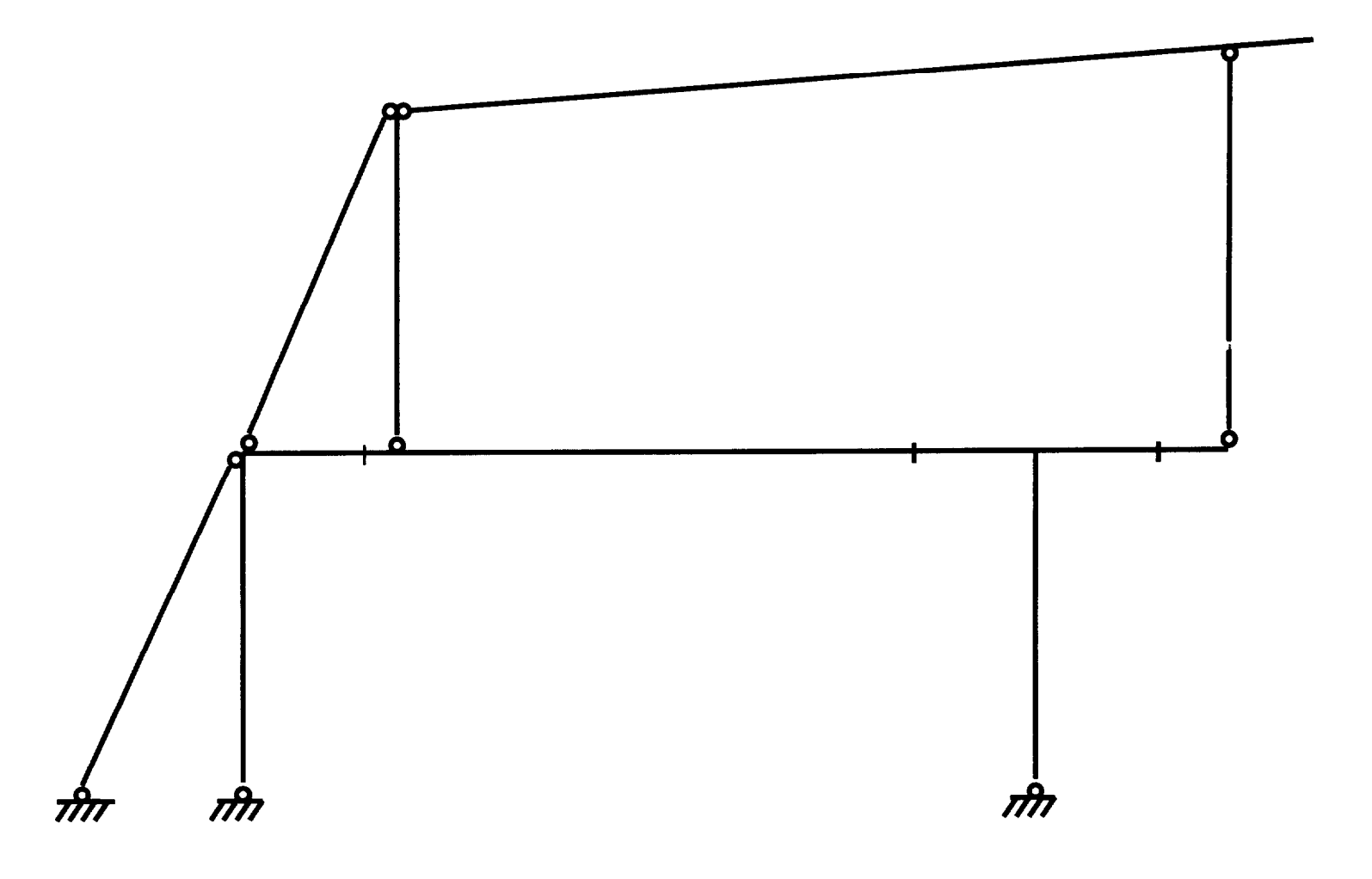
# Feuille réponse n° 2

# Reporter sur les schémas les coefficients résultants Cr = Ce - Ci :



| NOM :                    | N° d'inscription :    |
|--------------------------|-----------------------|
| Prénoms :                | Repère de l'épreuve : |
| Académie d'inscription : |                       |

# Feuille réponse n° 3



Echelle des moments : 1 cm = 100 kN.m

# Efforts dans les barres (Axes locaux)

## Convention de signe donnée par l'action du nœud sur l'élément

| Barre | Nœud | Comb. | X (kN)   | Y (kN)   | M <sub>z</sub> (kN.m) |
|-------|------|-------|----------|----------|-----------------------|
| 1     | 1    | C1    | 389.22   | - 64.15  | 0.00                  |
|       | 2    |       | - 385.35 | 64.15    | 333.55                |
| 2     | 2    | C1    | 43.95    | 334.49   | - 333.55              |
|       | 3    |       | - 43.95  | - 239.58 | - 168.76              |
| 3     | 3    | C1    | 43.95    | 239.58   | 168.76                |
|       | 4    |       | - 43.95  | - 199.34 | - 333.35              |
| 4     | 4    | C1    | 43.95    | 155.47   | 333.35                |
|       | 5    |       | - 43.95  | 287.15   | 209.84                |
| 5     | 6    | C1    | 43.95    | 382.07   | - 795.41              |
|       | 5    |       | - 43.95  | - 287.15 | 209.84                |
| 6     | 6    | C1    | 625.60   | 43.95    | - 228.56              |
|       | 7    | Ī     | - 629.47 | - 43.95  | 0.00                  |
| 7     | 6    | C1    | 0.00     | 243.53   | - 566.85              |
|       | 8    |       | 0.00     | - 179.68 | 196.55                |
| 8     | 8    | C1    | 0.00     | 179.68   | - 196.55              |
|       | 9    |       | 0.00     | -134.80  | 0.00                  |
| 9     | 10   | C1    | - 42.61  | 1.92     | 0.00                  |
|       | 2    |       | 50.59    | 1.92     | 0.00                  |
| 10    | 2    | C1    | 3.99     | 1.92     | 0.00                  |
|       | 11   |       | 3.99     | 1.92     | 0.00                  |
| 11    | 11   | C1    | 3.49     | 37.76    | 0.00                  |
|       | 12   |       | 3.58     | 38.78    | 6.65                  |
| 12    | 12   | C1    | 0.81     | 8.83     | - 6.65                |
|       | 13   |       | 0.00     | 0.00     | 0.00                  |
| 13    | 12   | C1    | 47.81    | 0.00     | 0.00                  |
|       | 9    |       | - 49.68  | 0.00     | 0.00                  |
| 14    | 11   | C1    | 42.35    | 0.00     | 0.00                  |
|       | 4    |       | 43.87    | 0.00     | 0.00                  |

CME4CAL Annexe n° 2

## Combinaison 8 (E.L.S.): poids propre + neige + surcharges d'exploitation

Nota : la surcharge d'exploitation est appliquée sur la traverse (Q<sub>1</sub>) et sur la console (Q<sub>2</sub>)

| Cas de charges | Nom                                                 | Coefficient de pondération |
|----------------|-----------------------------------------------------|----------------------------|
| 1              | Poids propre                                        | 1                          |
| 2              | Charges permanentes                                 | 1                          |
| 3              | Neige                                               | 1                          |
| 6              | Surcharge d'exploitation traverse (Q <sub>1</sub> ) | 1                          |
| 7              | Surcharge d'exploitation console (Q <sub>2</sub> )  | 1                          |

## Déplacements : combinaison 8 (repère global)

| Nœud | Combinaison | X (mm) | Y (mm)  | Z (rad)   |
|------|-------------|--------|---------|-----------|
| 1    | C8          | 0.00   | 0.00    | - 0.00548 |
| 2    | C8          | 3.34   | - 1.00  | 0.01289   |
| 3    | C8          | 3.33   | - 23.93 | 0.01292   |
| 4    | C8          | 3.32   | - 33.14 | 0.01150   |
| 5    | C8          | 3.22   | - 16.23 | - 0.00959 |
| 6    | C8          | 3.21   | - 1.77  | - 0.00702 |
| 7    | C8          | 0.00   | 0.00    | 0.00443   |
| 8    | C8          | 3.21   | 8.84    | - 0.00502 |
| 9    | C8          | 3.21   | 14.33   | - 0.00410 |
| 10   | C8          | 0.00   | 0.00    | 0.00000   |
| 11   | C8          | 70.78  | - 33.42 | 0.01297   |
| 12   | C8          | 66.41  | 13.95   | - 0.01148 |
| 13   | C8          | 64.83  | 31.11   | - 0.01143 |

CME4CAL Annexe n° 3

# Efforts dans les barres (Axes locaux)

| Barre | Nœud | Combinaison | x (kN)   | y (kN)  | M <sub>z</sub> (kN.m) |
|-------|------|-------------|----------|---------|-----------------------|
| 6     | 6    | C1          | 625.60   | 43.95   | - 228.56              |
|       | 7    |             | - 629.47 | - 43.95 | 0.00                  |
|       | 6    | C2          | 572.77   | 12.89   | -67.04                |
|       | 7    |             | - 576.65 | -12.89  | 0.00                  |
|       | 6    | C3          | 670.73   | 37.59   | - 195.48              |
|       | 7    |             | - 674.61 | - 37.59 | 0.00                  |
|       | 6    | C4          | 242.92   | 27.36   | - 78.37               |
|       | 7    |             | - 245.83 | - 2.79  | 0.00                  |
|       | 6    | C5          | 473.43   | 25.27   | - 151.68              |
|       | 7    |             | - 477.30 | - 33.07 | 0.00                  |
|       | 6    | C6          | 463.16   | 32.01   | - 166.46              |
|       | 7    |             | - 466.07 | - 32.01 | 0.00                  |
|       | 6    | C7          | 425.96   | 10.14   | - 52.71               |
|       | 7    |             | - 428.87 | -10.14  | 0.00                  |
|       | 6    | C8          | 504.31   | 28.26   | - 146.98              |
|       | 7    |             | - 507.22 | -28.26  | 0.00                  |
|       | 6    | C9          | 319.86   | 19.98   | - 67.39               |
|       | 7    |             | - 322.77 | - 5.94  | 0.00                  |